

I-13

## 波型腹板桁の静的挙動に関する実験的研究

金沢工業大学 正員○西田 進

## 1. まえがき

鋼の薄板を溶接して製作する板桁は一般に曲げに対して上下フランジが、せん断に対してウエブが抵抗するため、その断面設計において、桁高を高く、ウエブを薄くした方がより経済的となる。この前提条件として、板桁の横倒れ座屈とウエブのせん断座屈を拘束する必要がある。このため、一般に横倒れ座屈に対しては中間対傾構を、せん断座屈に対しては垂直補剛材を適切に配置するのが原則である。この原則に変わるものとして、ウエブを波型に加工した波型腹板桁（波桁）が考案され、この波型ウエブを有するはりや桁は補剛材の溶接の必要が無いので製作や疲労寿命の面から有利である<sup>1)</sup>。この波桁の力学特性を活かすための基礎的研究を行なったので以下に報告する。

## 2. 供試体および実験方法

軟鋼（材質 SS400）の薄板を溶接して標準断面 I-41 2x80x4x6mm、長さ 6.2m の板桁 1 体、波桁 2 体を製作し（図-1 参照）、スパン長 L = 6m の単純ばかりとして、曲げ試験を行なうものである。試験桁の断面寸法を測定した後、静的試験用骨組内にセットし、圧縮フランジ上に 5 タンジャッキを用いて 2 点集中荷重を作らせた。桁の変位およびヒズミは荷重約 50kg 増分ごとに変位計、ダイヤルゲージおよびストレーンゲージを用いて測定した。なお、試験桁の端部の支持方法は鉛直変位 v および水平変位 u に対して単純支持とし、端部でのねじり角 φ を拘束し、そりは自由とした。

図-2 はウエブより切り出した W2 試験片の応力とヒズミ（弹性ヒズミはヒズミゲージを、塑性ヒズミは大きいためダイヤルゲージを用いて測定した）の関係を示し、図中にフランジおよびウエブに使用した鋼材から切り出した JIS 2 号試験片の引張試験結果を示してある。なお、数値計算にはフランジ部の値（F1 および F2）の平均値を用いるものとする。

## 3. 板桁および波桁の曲げおよびねじり試験

使用荷重状態での弾性変形挙動を調査するために、板桁では補剛位置に、波桁ではウエブがフランジ幅中心となる位置に 2 点集中荷重を作らせた曲げ試験および e = 2 cm の偏心を与えたねじり試験を行なった。なお、荷重は最大ヒズミが約 500 μ 程度となるまで 50kg づつ作用させた。図-3 は板桁の図-4 は波桁の作用荷重 P と載荷点の鉛直変位 v およびねじり角 φ の関係を示すものである。また、ねじり角 φ を表わす図中の F (a) 式は次式にて与えられる。

$$F(a) = \frac{a}{L} - \frac{\sinh \alpha a (\sinh \alpha a + \sinh \alpha (L-a))}{\alpha L \sinh \alpha L}, \quad \alpha = \sqrt{\frac{GJ}{EC_s}} \quad (1)$$

ここに、J はサンプナンのねじり定数、C<sub>s</sub> はそり 2 次モーメント、a は支点と載荷点間の距離である。

図より、板桁の鉛直変位 v はほぼ線形理論に一致し、波桁の鉛直変位は実験値の方がやや大きな値となっている。これは波型ウエブを溶接する際の残留ひずみにより、フランジに凹凸が生じ、波桁の曲げ剛性が低下したためと思われる。一方、ねじり角 φ は理論値の半分弱の値となつてい

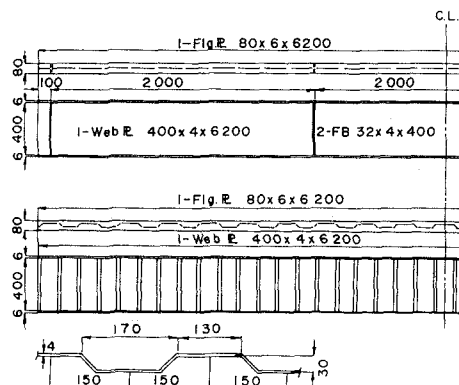


図-1 板桁および波桁供試体の断面寸法

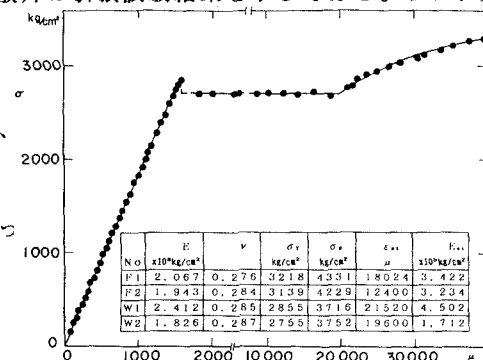


図-2 使用鋼材 (SS 400) の引張試験結果

る。これは面外方向の曲げ剛性が面内方向のそれに比べて極端に小さいため、ねじりより面外変位が卓越したためと思われ、その原因については検討中である。

図-5は作用荷重が500kgの場合の板桁および波桁ウェブの応力分布を表わすものである。波桁の $\sigma_x$ 分布は、ウェブが波型のため3次元的な変形が生じ、上下フランジ近傍を除くと曲げ理論と大きく異なる分布となる。一方、板桁ではせん断応力 $\tau_{xy}$ に若干乱れがあるもののほぼ理論値と一致している。

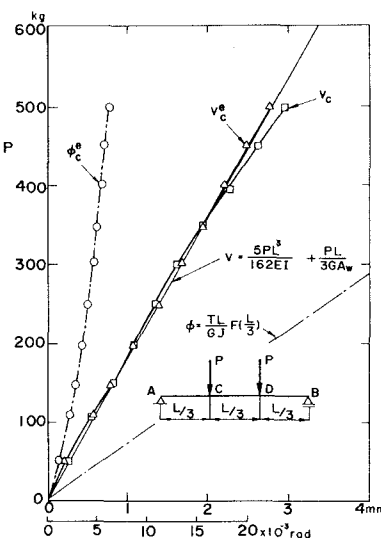


図-3 板桁供試体の荷重・変形関係

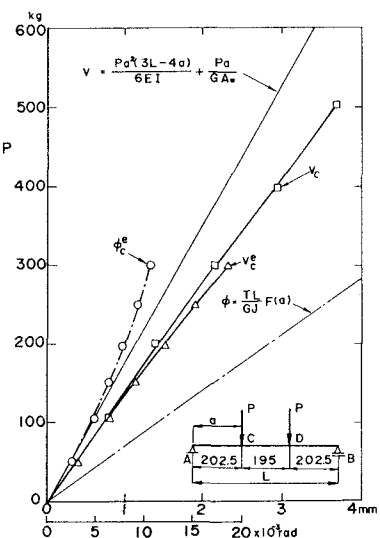


図-4 波桁供試体の荷重・変形関係

#### 4. 横倒れ座屈実験

板桁および波桁の横倒れ座屈実験を行なつたが、荷重・変形挙動上明確な座屈点を見出すことができなかつたため、Meckの方法<sup>2)</sup>により座屈荷重を求めるものとする(図6、7および式2参照)。

$$P_{cr} = \frac{1}{\sqrt{\alpha \beta}} \quad (2)$$

図-6および7は作用荷重と水平変位およびねじり角の関係をMeckの方法によりプロットしたものである。各図の実験値を直線近似し、それぞれの直線の勾配の逆数の積のルート $\times 10^{-3}$ として座屈荷重を求める。板桁の理論座屈荷重325kgに対して板桁の実験座屈荷重は290kg、波桁の実験座屈荷重は688kgとなり、波桁の $P_{cr}$ は板桁の $P_{cr}$ の約2倍という結果を得た。

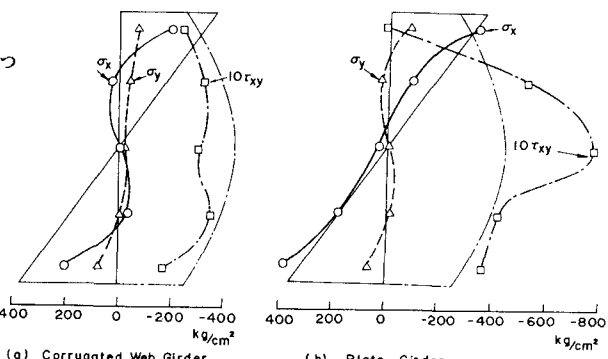
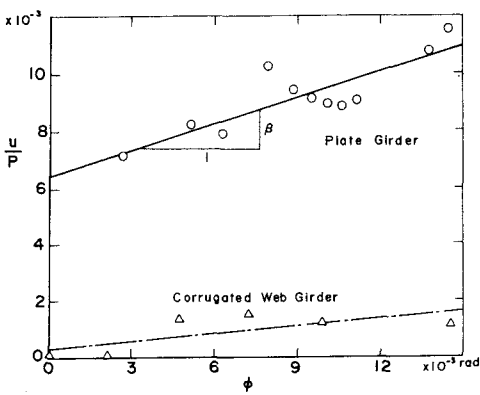
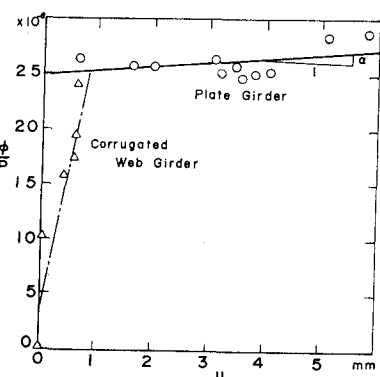


図-5 板桁および波桁供試体ウェブの応力分布

図-6  $u/P$  と  $\phi$  の関係図-7  $\phi/P$  と  $u$  の関係

参考文献 1) Elgaaly, M. and Dagher, H.: Beams and Girders with Corrugated Webs, Stab. Bridge, pp.37~53, 1990. 2) Meck, H.R.: Experimental Evaluation of Lateral Buckling Loads, Jour. of Eng. Meck.Div., Proc. ASCE, Vol.103, No.EM2, pp.331~337, 1977.